

## Structure Studies of $\text{YBa}_2\text{Cu}_3\text{O}_{7-\delta}/\text{Ag}$ by XRD and SEM

Zargar Shoushtari, M. and Amini Ghanavati, S.

*Faculty of Science, Department of Physics*

*University of Shahid Chamran (Ahwaz)*

**Key Words :**  $\text{YBa}_2\text{Cu}_3\text{O}_{7-\delta}$  Superconductor, Silver, XRD and SEM

**Abstract:** The  $\text{YBa}_2\text{Cu}_3\text{O}_{7-\delta}$  (YBCO) superconductor ceramic has low critical current density ( $J_c$ ) because of weak links between its grains. There have been a lot of efforts to increase  $J_c$ . One of the methods to increase  $J_c$  is to dope YBCO with other materials such as silver (Ag). In this paper, the effect of adding silver to YBCO with the weight ratio of 0% , 10% ,15% , 20% and 30% on its microstructure have been investigated. The X-ray diffraction (XRD) and scanning electron microscopy (SEM) and energy dispersive spectroscopy (EDS) diagrams of samples have been obtained and studied. The study of XRD patterns shows that Ag is appears as a separate phase in the samples and the position of YBCO peaks do not considerable changes. The study of SEM of samples reveals that the Ag added to YBCO does not present in its microstructure and does not change the lattice constants of YBCO by considerable amount, and also the Ag grains remain among YBCO grains and provide the better intergranular contact. The percentage of silver for optomizing the physical properties of YBCO superconductores is almost 20.

## پژوهشی

# بررسی ساختار $\text{YBa}_2\text{Cu}_3\text{O}_{7-\delta}/\text{Ag}$ با SEM و XRD

مرتضی زرگر شوستری و سعید امینی قنواتی

گروه فیزیک، دانشکده علوم، دانشگاه شهید چمران، اهواز

چکیده: ابرسانای سرامیکی  $\text{YBa}_2\text{Cu}_3\text{O}_{7-\delta}$  (ایبکو) به دلیل اتصال‌های ضعیف بین دانه‌ای، دارای چگالی جریان بحرانی ( $J_c$ ) کم است. برای افزایش  $J_c$  تحقیقات بسیاری صورت گرفته است. یکی از روش‌های افزایش آن آلاییدن ایبکو به مواد دیگر از جمله نقره است. در این مقاله آثار افزایش نقره با نسبت‌های وزنی ۱۰، ۱۵، ۲۰ و ۳۰ درصد به ایبکو بر ریزساختار آن بررسی شده است. مطالعه الگوهای پراش پرتو X نمونه‌ها، قله‌های نقره را در فازی جداگانه نشان می‌دهند و موقعیت قله‌های ایبکو تغییر قابل ملاحظه‌ای نمی‌کنند. همچنین تصاویر میکروسکوپ الکترونی روبشی نشان می‌دهند که دانه‌های فلزی نقره در میان دانه‌های ایبکو قرار می‌گیرند. از نتایج به دست آمده چنین استنباط می‌شود که هر چند نقره در ریزساختار ابرسانای ایبکو وارد نشده است اما باعث رشد دانه‌های آن می‌شود. از سوی دیگر قرار گرفتن دانه‌های نقره بین دانه‌های ایبکو باعث بهبود اتصال آنها می‌شود. درصد نقره برای بهینه کردن خواص فیزیکی ابرسانای ایبکو حدود ۲۰٪ به دست آمده است.

واژه‌های کلیدی: ابرسانای  $\text{YBa}_2\text{Cu}_3\text{O}_{7-\delta}$ ، SEM، XRD، نقره

## مقدمه

چند ماه پس از کشف ابرساناهای دمای بالا توسط بدنتورز و مولر [۱]، ووه و همکارانش [۲] موفق به کشف ابرسانندگی در سیستم Y-Ba-Cu-O (YBCO یا ایبکو) با دمای گذار در حدود ۹۰ K شدند. چگالی جریان بحرانی یکی از پارامترهای اساسی

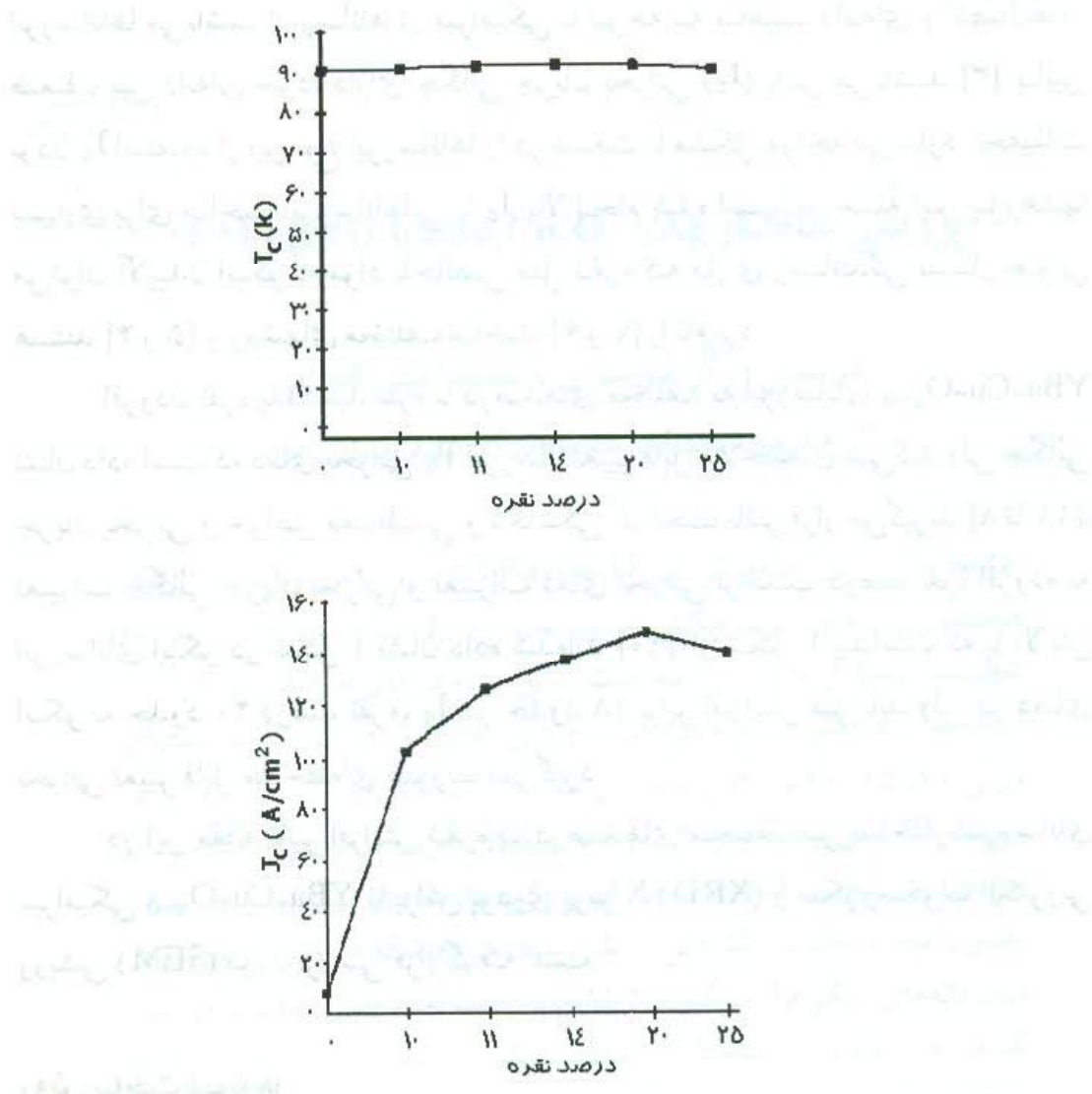
ابررساناهای سرامیکی با توجه به ماهیت دانه‌ای و اتصال‌های ضعیف بین دانه‌ای خود، دارای چگالی جریان بحرانی ( $J_c$ ) پایین می‌باشند [۳]. پایین بودن  $J_c$  استفاده از این نوع ابررساناهای را در صنعت با مشکل مواجه می‌سازد. تحقیقات بسیاری برای ساخت ابررساناهایی با  $J_c$  بالا انجام شده است. از جمله این پژوهشها می‌توان آلاییدن ایکو به مواد ناخالصی مثل نقره که دارای رسانندگی بسیار خوبی هستند [۴ و ۵] و روش‌های مختلف ساخت [۶ و ۷] را نام برد.

افزودن نقره یا اکسید نقره با درصد‌های مختلف به ابررسانای  $\text{YBa}_2\text{Cu}_3\text{O}_{7-\delta}$  نشان داده است که دمای بحرانی  $T_c$  ابررسانا تغییر قابل ملاحظه‌ای نمی‌کند ولی چگالی جریان بحرانی و خواص مغناطیسی و مکانیکی آن تحت تأثیر قرار می‌گیرند [۸ تا ۱۱]. تغییرات چگالی جریان بحرانی و تغییرات دمای بحرانی بر حسب درصد نقره افزوده به ابررسانای ایکو در شکل ۱ نشان داده شده‌اند [۱۰]. از شکل ۱ پیداست که با آلایش ایکو به حدود ۲۰ درصد نقره،  $J_c$  در حدود ۱۸ برابر افزایش می‌یابد ولی در دمای بحرانی تغییر قابل ملاحظه‌ای صورت نمی‌گیرد.

در این مقاله تأثیر افزایش نقره با درصد‌های مختلف بر ساختار ابررسانای سرامیکی  $\text{YBa}_2\text{Cu}_3\text{O}_{7-\delta}$  با پراش پودری پرتو X (XRD) و میکروسکوپ الکترونی روبشی (SEM) مورد بررسی قرار گرفته است.

### روش ساخت نمونه‌ها

برای ساخت نمونه‌ها از پودرهای  $\text{Y}_2\text{O}_3$ ,  $\text{BaO}_2$ ,  $\text{CuO}$  و  $\text{Ag}_2\text{O}$  با خلوص بالا ساخت MERCK و از روش واکنش حالت جامد استفاده شده است. نخست مقادیر استوکیومتری لازم برای تهیه ابررسانای  $\text{YBa}_2\text{Cu}_3\text{O}_{7-\delta}$  را از پودر اکسیدهای ایتریم، مس و باریم با ترازوی الکترونیکی با حساسیت ۱/۰ میلی گرم برداشت و با مقدار لازم از پودر اکسید نقره با توجه به درصد وزنی مورد نیاز برای آلایش نمونه‌های مختلف مخلوط و آسیاب کردیم. با استفاده از قالب استوانه‌ای شکل، از پودرهای حاصل فردهایی به قطر حدود ۱۴/۵ میلی متر با فشار  $230 \text{ kg/cm}^2$  ساخته شد. فردهای را در کوره الکتریکی قابل برنامه‌ریزی مدل RHF ۱۴۰۰ ساخت CARBOLIT قرار داده و آهنگ افزایش و کاهش دما را به قرار زیر انجام دادیم: از دمای اتاق تا ۹۰۰ درجه



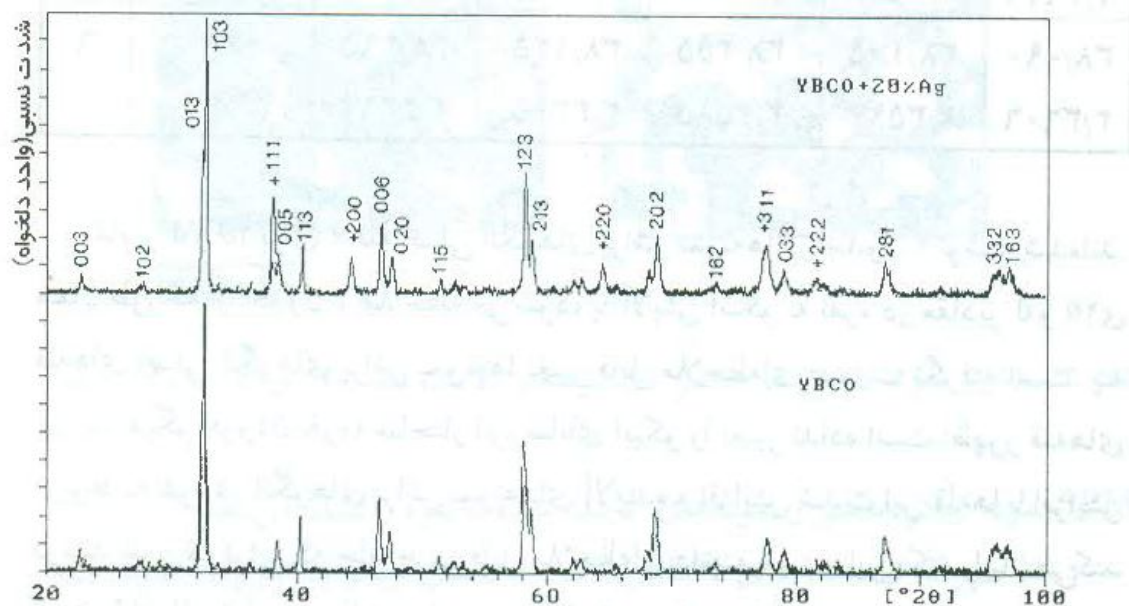
شکل ۱ تغییرات دمای بحرانی (بالا) و تغییرات چگالی جریان بحرانی (پایین) بر حسب درصد نقره افزوده به ابررسانای ایبکو.

سانتیگراد با آهنگ  $7/5^{\circ}C/min$  دمای کوره افزایش یافته و در  $900^{\circ}C$  به مدت ده ساعت ثابت نگه داشته شد. سپس کوره با آهنگ آرام  $7^{\circ}C/min$  تا دمای اتاق سرد شد.

### اندازه‌گیری‌ها و نتایج

آنچه در اولین نگاه به نمونه‌های ساخته شده مشاهده شد تفاوت رنگ آنها بود. با افزایش درصد ناخالصی نقره نمونه‌ها، نقره‌ای‌تر به نظر می‌رسیدند، به طوری که برای

ایبکو خالص، نمونه سیاه رنگ و برای ایبکو با  $30^\circ$  درصد آلایش، نقره‌ای رنگ بود. برای مشاهده اثر مایسستر، نمونه مورد نظر را در نیتروژن مایع که دمای آن  $77^\circ\text{K}$  است قرار داده و پس از بیرون آوردن آن از مایع، آهنربایی کوچکی بر روی آن قرار دادیم که به صورت معلق تا زمانی که نمونه گرم می‌شد باقی ماند. تمام نمونه‌ها اثر مایسستر را نشان دادند و بهترین اثر در نمونه  $20^\circ$  درصد آلاییده مشاهده شد و برای نمونه  $30^\circ$  درصد این اثر نسبت به سایر نمونه‌ها تضعیف شده بود. این نتیجه با نتایج به دست آمده از اندازه‌گیری پذیرفتاری مغناطیسی نمونه‌ها سازگار است [۱۱]. با افزایش درصد نقره استحکام نمونه‌ها افزایش یافته به طوری که در نمونه  $30\%$  شکستن با ضربه چکش یا برش با اره امکان‌پذیر بود. از آنجاکه الگوهای XRD هر جسم به ساختار آن بستگی دارند، برای بررسی اثر افزایش نقره بر ساختار ابررسانای ایبکو از دستگاه پراش سنج پودری پرتو X مدل PW ۱۸۴۰ ساخت PHILIPS با آند مس استفاده شد. الگوهای پراش پرتو X نمونه‌های ابررسانای ایبکو خالص و  $20^\circ$  درصد نقره در شکل ۲ نشان داده شده‌اند.



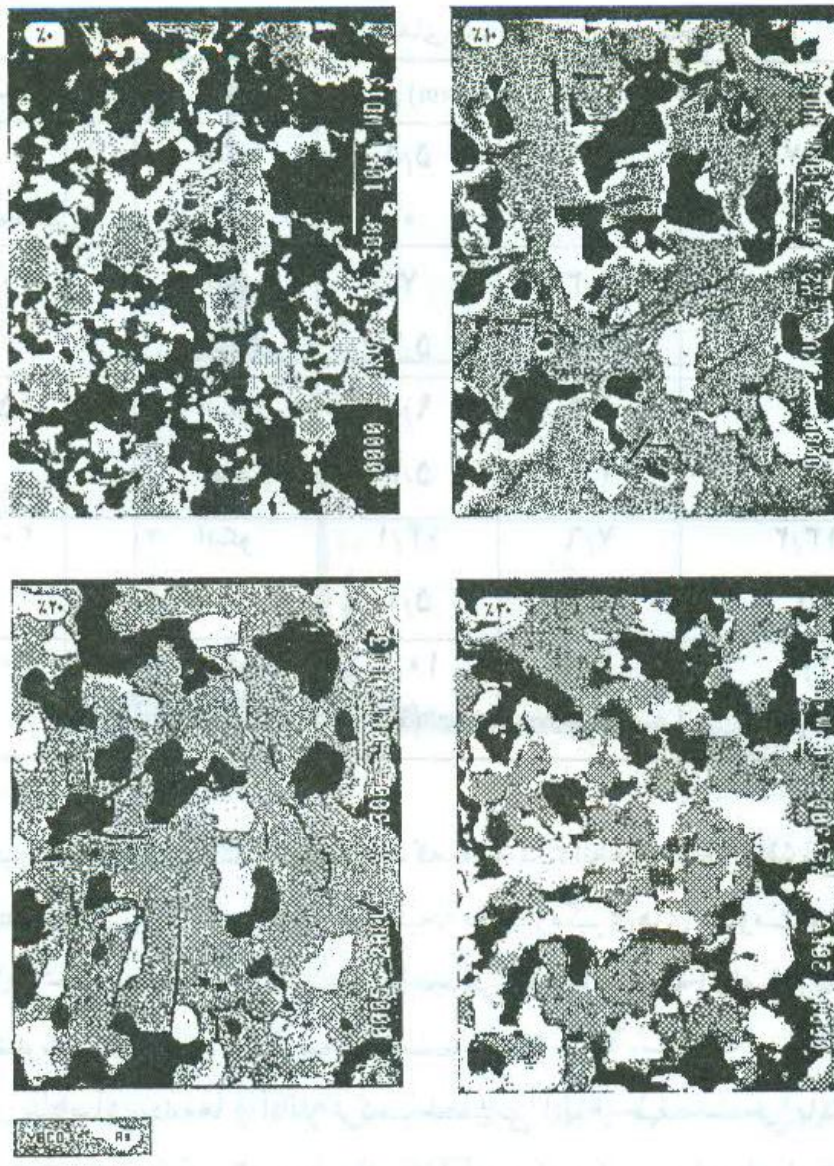
شکل ۲ الگوهای پراش پرتو X پودر ایبکو خالص و ایبکو با  $20\%$  نقره.  
علامت‌های + بازتابهای نقره را نشان می‌دهند.

جدول ۱ مقادیر  $d$  و  $2\theta$  برای ۶ قله الگوی پراش نمونه‌ها

نمونه با درصد نقره						مقادیر $d$ (Å)	قله
۳۰	۲۰	۱۵	۱۰	۵	$2\theta$ (deg.)		
۳۲/۸۵۵	۳۲/۷۷۰	۳۲/۶۹۰	۳۲/۶۷۰	۳۲/۹۰۰	$2\theta$	$d$	۱
۲/۷۲۳۷	۲/۷۳۰۶	۲/۷۳۷۱	۲/۷۳۸۷	۲/۷۲۰۱			
۵۸/۱۸۰	۵۸/۱۹۵	۵۲/۱۲۰	۵۸/۱۱۵	۵۸/۱۸۵	$2\theta$	$d$	۲
۱/۵۸۴۳	۱/۵۸۴۰	۱/۵۸۴۶	۱/۵۸۶۰	۱/۵۸۴۲			
۴۶/۷۰۵	۴۶/۶۲۵	۴۶/۶۹۰	۴۶/۶۸۵	۴۶/۶۱۵	$2\theta$	$d$	۳
۱/۹۴۳۳	۱/۹۴۶۴	۱/۹۴۳۸	۱/۹۴۴۰	۱/۹۴۶۸			
۴۰/۳۱۰	۴۰/۳۷۰	۴۰/۲۳۰	۴۰/۳۱۰	۴۰/۳۲۵	$2\theta$	$d$	۴
۲/۲۳۵۵	۲/۲۳۲۴	۲/۲۳۵۰	۲/۲۳۵۵	۲/۲۳۴۷			
۶۸/۹۰۵	۶۸/۸۱۰	۶۸/۸۵۰	۶۸/۷۹۵	۶۸/۸۳۵	$2\theta$	$d$	۵
۱/۳۶۱۶	۱/۳۶۳۲	۱/۳۶۲۵	۱/۳۶۳۵	۱/۳۶۲۸			
۳۸/۰۹۰	۳۸/۱۰۵	۳۸/۴۵۵	۳۸/۱۲۵	۳۸/۴۹۵	$2\theta$	$d$	۶
۲/۳۶۰۶	۲/۳۵۹۷	۲/۳۵۸۵	۲/۳۳۷۵	۲/۳۳۶۷			

مقادیر  $d$  و  $2\theta$  برای ۶ قله اصلی الگوهای پراش نمونه‌ها در جدول ۱ نوشته شده‌اند. همان طور که از جدول ۱ ملاحظه می‌شود، با آلایش ایبکو به نقره در مقادیر  $d$  و  $2\theta$ ی قله‌های اصلی الگوهای پراش نمونه‌ها تغییر قابل ملاحظه‌ای صورت نگرفته است. به عبارت دیگر افزودن نقره، ساختار ابررسانای ایبکو را تغییر نداده است. ظهور قله‌های مربوط به نقره در الگوهای پراش نمونه‌های آلاییده و افزایش شدت این قله‌ها با افزایش درصد نقره بدون این که جایه جایی قابل ملاحظه‌ای داشته باشند، این نکته را بیان می‌کند که نقره اضافه شده در ساختار ابررسانای ایبکو شرکت نکرده است و به عنوان فاز جداگانه‌ای در نمونه ظاهر می‌شود.

برای مشخص شدن محل استقرار نقره در نمونه‌های تهیه شده و چگونگی رشد دانه‌های ایبکو از میکروسکوپ الکترونی روبشی استفاده شد. شکل ۳ عکس‌های



شکل ۳ تصاویر نمونه ۰٪ (ایپکو خالص) و نمونه‌های آلاییده شده ۱۰٪ و ۲۰٪ و ۳۰٪ به نقره

SEM نمونه ایپکو خالص و نمونه‌های آلاییده شده به نقره را نشان می‌دهد.

همان طور که از عکس‌های SEM پیداست دانه‌های ایپکو با افزودن نقره رشد می‌کنند. وجود نقره در فرایند کلوخه‌سازی، سطوح دانه‌های ایپکو را تمیز می‌کند و باعث بهبود رشد دانه‌ها هنگام ذوب جزئی می‌شود [۵ و ۱۲]. نتایج به دست آمده نشان داد که بیشترین رشد برای دانه‌های ایپکو با آلایش حدود ۲۰ درصد به دست می‌آید. جدول ۲ ابعاد دانه‌های ایپکو و نقره را با درصدهای مختلف آلایش نشان می‌دهد.

جدول ۲ مشخصات دانه‌های نمونه‌ها با درصد مختلف نقره

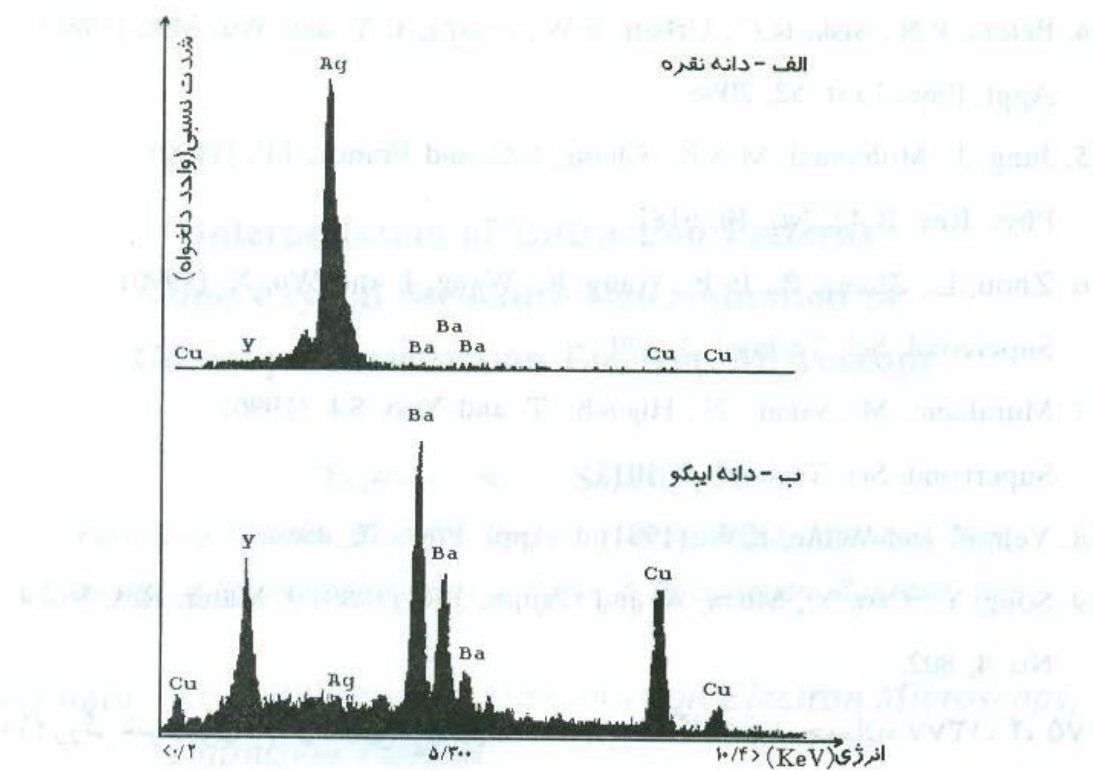
درصد نقره	دانه	طول (μm)	عرض (μm)	مساحت ( $\mu\text{m}^2$ )
۰	ایبکو	۵/۵	۴/۶	۲۶/۷
	نقره	۰	۰	۰
۱۰	ایبکو	۲	۵/۳	۳۸/۵
	نقره	۵/۶	۲/۸	۱۲
۱۵	ایبکو	۹/۵	۵/۶	۵۸/۷
	نقره	۵/۴	۲/۹	۱۶
۲۰	ایبکو	۱۴/۱	۷/۶	۱۱۳/۲
	نقره	۵/۱	۳	۱۵
۳۰	ایبکو	۱۰/۳	۴/۸	۵۲/۳
	نقره	۱۲	۳/۷	۴۶

همچنین عکس‌های SEM نشان دادند که نقره بین دانه‌های ایبکو قرار می‌گیرد و باعث بهبود اتصال‌های بین آنها می‌شود. این نتیجه با اندازه‌گیری‌های مقاومت ویژه الکتریکی نمونه‌ها در حالت عادی و چگالی جریان بحرانی که مقدار بهینه آنها برای نمونه با آلایش ۲۰ درصد به دست آمده است سازگار است [۱۰].

برای شناسایی دانه‌ها و آنالیز ترکیب شیمیایی آنها از طیف سنجی پاشندگی انرژی EDS استفاده شد. شکل ۴ نمودارهای EDS دانه نقره که بین دانه‌های ایبکو قرار دارد و دانه‌های ایبکو را نشان می‌دهد.

همان طور که از الگوهای پراش نتیجه گرفته شد، نقره وارد ساختار دانه‌های ایبکو نشده و به صورت فازی جداگانه (دانه‌های مجزا) در نمونه ظاهر می‌شود. این مطلب را نمودارهای EDS مورد تأیید قرار می‌دهند.

بررسی تصاویر میکروسکوپ الکترونی روبشی و میکروسکوپ نوری و الگوهای پراش پرتو X وجود موادی غیر از ایبکو و نقره مثل فاز ۲۱۱ ایبکو را به مقدار کم در بعضی از نمونه‌های تهیه شده نشان می‌دهد. با توجه به نتایج به دست آمده از الگوهای XRD، تصاویر SEM و نمودارهای EDS، نتیجه گرفته می‌شود که در نمونه‌های تهیه



شکل ۴ نمودارهای EDS (الف) دانه نقره و (ب) دانه ایپکو

شده، با افزایش نقره تا حدود ۲۰ درصد دانه‌های ایپکو بزرگتر می‌شوند و افزودن نقره بیش از این مقدار باعث جلوگیری از رشد دانه‌ها می‌گردد. همچنین نقره در درون دانه‌های ایپکو وارد نشده و ساختار آن را تغییر نمی‌دهد و به صورت دانه‌هایی بین آنها قرار می‌گیرد.

## مراجع

1. Bednorz, J.G. and Muller, K.A. (1986) Z. Phys. B 64, 189.
2. Wu, M.K., Ashburn, J.R., Torng, C.J., Hor, P.H., Meng, R.L., Gao, L., Huang, Z.J., Wang, Y.Q., and Chu, C.W. (1987) Phys. Rev. Lett. 58, 908.
3. Ekin, J.W., Braginski, A.I., Panson, A.J., Janocko, M.A., Capone, D.W., Zaluzec, N.J., Flandermeyer, B., deLima, O.F., Hang, M., Kwo, J. and Liou, S.H. (1987) J. Appl. Phys. 62, 4821.

4. Peters, P.N., Sisk, R.C., Urban, E.W., Huang, C.Y. and Wu, M.k. (1988) Appl. Phys. Lett. 52, 2066.
5. Jung, J., Mohamed, M.A.K., Chang, S.C. and Franck, J.P. (1990) Phys. Rev. B 42, No. 10, 6181.
6. Zhou, L., Zhang, P., Ji, P., Wang, K., Wang, J. and Wu, X. (1990) Supercond. Sci. Technol. 3, 409.
7. Murakami, M., Sakai , N., Higuchi, T. and Yoo, S.I. (1996) Supercond. Sci. Technol. 9, 1015.
8. Yeh, F. and White, K.W. (1991) J. Appl. Phys. 70, 4989.
9. Song, Y., Cao, Y., Misra, A. and Gaines, J.R. (1989) J. Mater. Res. Vol.4, No. 4, 802.
- 10) زرگر شوستری، م، و منیعی، ع، مجله علوم، دانشگاه شهید چمران، ۱۳۷۷، ۴، ۷۵
- 11) سپهری، س، و زرگر شوستری، م، مجله پژوهش فیزیک ایران، ۱۳۷۷، ۵، ۲۹۹
12. Deslandes, F., Raveau, B., Dubots, P. and Legat, D. (1989) Solid state commun. 71, 407.